

บทที่ 4

ผลการวิจัย/การวิเคราะห์ข้อมูล

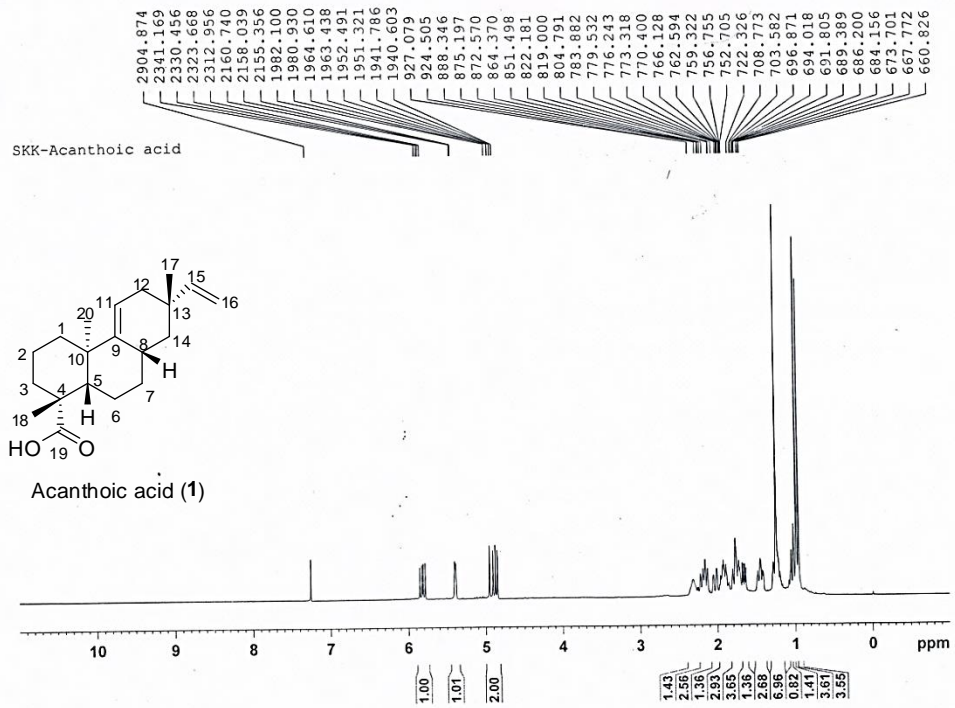
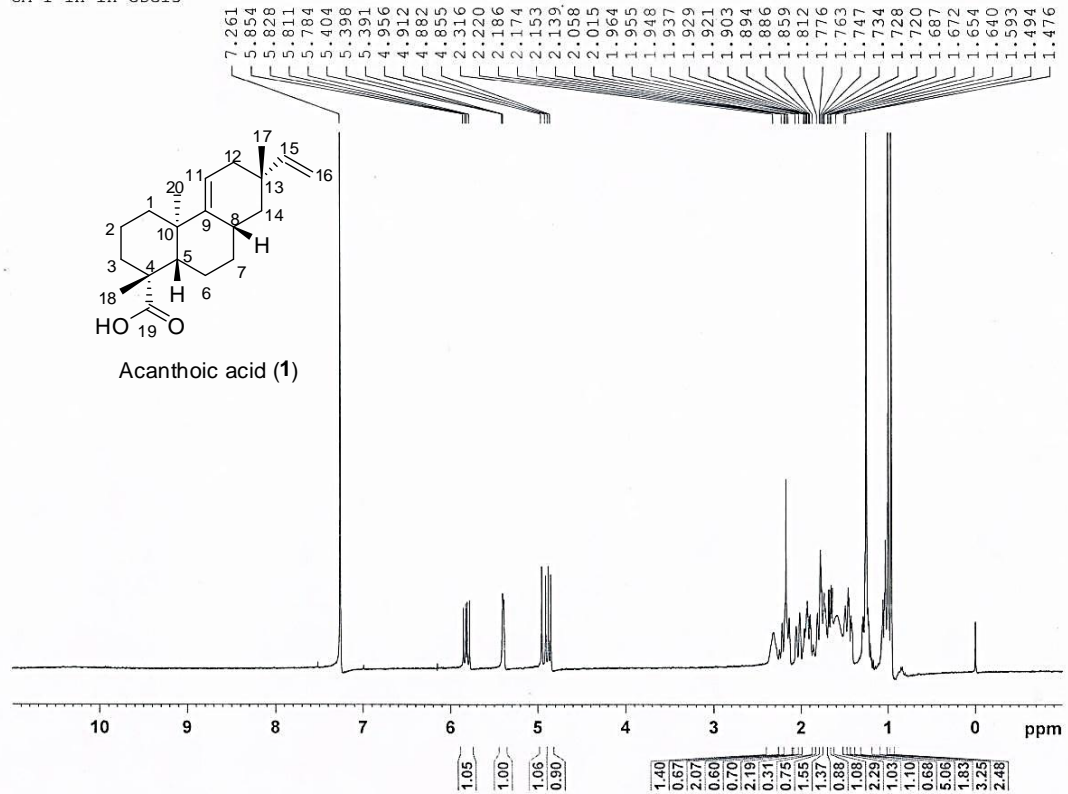
งานวิจัยนี้ได้ทำการสกัด acanthoic acid (1) จากต้นเปล้าใหญ่ ในเขตอำเภอสวนผึ้ง จังหวัดราชบุรี และนำ acanthoic acid ที่สกัดได้มาปรับเปลี่ยนโครงสร้าง acanthoic acid 1 บริเวณหมู่ฟังก์ชัน carboxylic acid ที่ตำแหน่ง C- 19 และหมู่ฟังก์ชัน alkene ที่ตำแหน่ง C- 9, 11 (endo alkene) และ C-15, 16 (exo alkene) ด้วยปฏิกิริยาทางเคมีโดยมีผลการทดลองดังนี้

4.1 การสกัดสาร acanthoic acid จากเปล้าใหญ่

การสกัดแยกสาร acanthoic acid จากเปลือกต้นเปล้าใหญ่ในเขตอำเภอสวนผึ้ง จังหวัดราชบุรี เมื่อวันที่ 12 กรกฎาคม 2558 ปริมาณ 896.88 กรัม สกัดด้วยตัวทำละลายเฮกเซน ครั้งละ 3 ลิตร โดยสกัดซ้ำทั้งหมด 3 ครั้ง และนำมาแยกสารให้บริสุทธิ์ด้วยเทคนิคคอลัมน์โครมาโทกราฟีบนซิลิกาเจล โดยใช้ระบบตัวทำละลายผสม เฮกเซน : เอทิลแอลกอฮอล์ อัตราส่วน 100 : 0 ถึง 0 : 100 และล้างผลึกด้วยระบบตัวทำละลายผสม เอทิลแอลกอฮอล์ : เฮกเซน อัตราส่วน 2 : 98 สามารถสกัดสาร acanthoic acid มีลักษณะเป็นของแข็งสีขาว ได้ปริมาณ 1.59 กรัม คิดเป็นร้อยละผลิตภัณฑ์ 0.178 ($R_f = 0.21$ ในระบบ ตัวทำละลายผสม เอทิลแอลกอฮอล์ : เฮกเซน อัตราส่วน 10 : 90) ขณะที่ Suwancharoen และคณะ (2010) รายงานสกัดสาร acanthoic acid จากเปลือกต้นเปล้าใหญ่ คิดเป็นร้อยละผลิตภัณฑ์ 5.5 จะเห็นว่าร้อยละผลิตภัณฑ์ที่ได้แตกต่างกัน เนื่องจากเปลือกต้นเปล้าใหญ่ที่นำมาสกัดมีลักษณะไม่เหมือนกันคือ กลุ่มผู้วิจัยได้นำเปลือกต้นเปล้าใหญ่ที่มีความชื้นและขนาดของเปลือกต้นเปล้าใหญ่ ซึ่งแตกต่างจากรายงานก่อนหน้านี้ที่ใช้เปลือกต้นเปล้าใหญ่ที่แห้งและบดละเอียด จึงเป็นเหตุผลทำให้ร้อยละผลิตภัณฑ์ที่ได้แตกต่างกัน ผลการวิเคราะห์จุดหลอมเหลวพบว่า acanthoic acid จากการสกัดมีจุดหลอมเหลวที่ 140-141 องศาเซลเซียส ซึ่งใกล้เคียงกับ acanthoic acid มาตรฐาน (Suwancharoen et al., 2010) ที่มีจุดหลอมเหลวที่ 141-142 องศาเซลเซียส ผลการวิเคราะห์เอกลักษณ์โครงสร้างของ acanthoic acid บริสุทธิ์ด้วยเทคนิค $^1\text{H-NMR}$ ได้ผลดังนี้

ลิขสิทธิ์ของมหาวิทยาลัยราชภัฏรำไพพรรณี

CA-1 1H in CDCl3



ภาพที่ 4.1 $^1\text{H-NMR}$ ของสาร Acanthoic acid จากการสกัด และ $^1\text{H-NMR}$ ของสาร Acanthoic acid มาตรฐาน Suwancharoen และคณะ (2010)

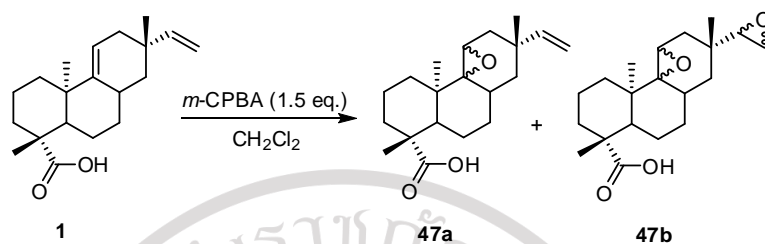
ตารางที่ 4.1 การเปรียบเทียบ $^1\text{H-NMR}$ (400 MHz) ของ acanthoic acid จากการสกัดกับ acanthoic acid มาตรฐาน

ตำแหน่ง	δ_{H} (mult, J in Hz ของ acanthoic acid)	
	โครงสร้าง Acanthoic acid จากการสกัด	โครงสร้าง Acanthoic acid จาก Suwancharoen และคณะ (2010)
1	1.81 (m, a), 1.29 (m, b)	1.81 (m, a), 1.28 (m, b)
2	1.93 (m, a), 2.22 (m, b)	1.93 (m, a), 2.21 (m, b)
3	2.14 (m, a), 1.06 (m, b)	2.15 (m, a), 1.05 (m, b)
5	1.66 (dd, $J=6, 13.0$ Hz)	1.66 (dd, $J=6.2, 13.0$ Hz)
6	1.49 (m, a), 1.89 (m, b)	1.48 (m, a), 1.89 (m, b)
7	1.73 (m, a), 1.21 (m, b)	1.73 (m, a), 1.21 (m, b)
8	2.32 (m)	2.31 (m)
11	5.40 (m)	5.39 (m)
12	2.02 (m, a), 1.77 (m, b)	2.01 (m, a), 1.77 (m, b)
14	1.46 (m, a), 1.03 (m, b)	1.45 (m, a), 1.03 (m, b)
15	5.82 (dd, $J=10.7, 17.5$ Hz)	5.81 (dd, $J=10.6, 17.4$ Hz)
16	4.93 (dd, $J=1.2, 17.5$ Hz, <i>trans</i>) 4.87 (dd, $J=1.2, 10.6$ Hz, <i>cis</i>)	4.93 (dd, $J=1.2, 17.4$ Hz, <i>trans</i>) 4.86 (dd, $J=1.2, 10.6$ Hz, <i>cis</i>)
17	0.96 (s)	0.96 (s)
18	1.25 (s)	1.25 (s)
20	0.99 (s)	0.99 (s)

จากการวิเคราะห์เอกลักษณ์โครงสร้าง acanthoic acid ที่ได้จากการสกัด ด้วยเทคนิค $^1\text{H-NMR}$ ดังภาพที่ 4.1 และตารางที่ 4.1 แสดงให้เห็นว่าสารที่สกัดได้คือ acanthoic acid เนื่องจากผลการวิเคราะห์ ค่าตำแหน่งของสัญญาณ (chemical shift) ของสารที่แยกได้กับรายงานวิจัยก่อนหน้าขึ้นที่สัญญาณใกล้เคียงกัน

จากผลการวิเคราะห์โครงสร้างของสารที่แยกได้ด้วยเทคนิค TLC จุดหลอมเหลว และ $^1\text{H-NMR}$ ของสารบริสุทธิ์ที่แยกได้เปรียบเทียบกับรายงานวิจัยก่อนหน้า (Suwancharoen et al., 2010) พบว่าค่า R_f ค่าจุดหลอมเหลว และค่าสัญญาณโปรตอนมีค่าใกล้เคียงกัน จึงสามารถยืนยันได้ว่าสารที่แยกได้ คือ acanthoic acid

4.2 การสังเคราะห์อนุพันธ์ epoxy acanthoic acid ด้วยปฏิกิริยา epoxidation



การปรับเปลี่ยนโครงสร้างของ acanthoic acid ด้วยปฏิกิริยา epoxidation โดยนำ acanthoic acid **1** ทำปฏิกิริยากับ 3-chloroperbenzoic acid (*m*-CPBA) ในตัวทำละลาย ไตคลอโรมีเทน (CH_2Cl_2) เวลา 1.30 ชั่วโมง ได้ผลิตภัณฑ์ **47a** และ **47b** ร้อยละผลิตภัณฑ์เท่ากับ 11 และ 29 ตามลำดับ อนุพันธ์ที่ถูกสังเคราะห์ขึ้นเมื่อนำไปพิสูจน์เอกลักษณ์ด้วยเทคนิค IR และ NMR spectroscopy ดังตารางที่ 4.2 และ 4.3 โดย IR spectrum อนุพันธ์ **47a** พบพีก 3083 cm^{-1} ซึ่งเป็น $\text{sp}^2\text{ C-H}$ (s) ของพันธะคู่ และ 1147 cm^{-1} เป็น C-O (s) ของวง Epoxide โดยอนุพันธ์ **47b** ไม่พบพีกของพันธะคู่ สำหรับ $^1\text{H-NMR}$ spectrum อนุพันธ์ **47a** พบว่ามีพีกเกิดขึ้นที่ตำแหน่งของสัญญาณค่าการเลื่อนทางเคมี (chemical shift) 5.7 ppm ซึ่งเป็นโปรตรอนของตำแหน่ง 15 และสัญญาณค่าการเลื่อนทางเคมี 4.9 ppm ซึ่งเป็นโปรตรอนของตำแหน่ง 16 และ **47b** พบว่าไม่มีพีกเกิดขึ้นที่ตำแหน่งของสัญญาณดังกล่าว ซึ่งจากผลดังกล่าวเมื่อเปรียบเทียบกับ Acanthoic acid **1** สามารถยืนยันได้ว่าเกิดผลิตภัณฑ์ **47a** และ **47b**

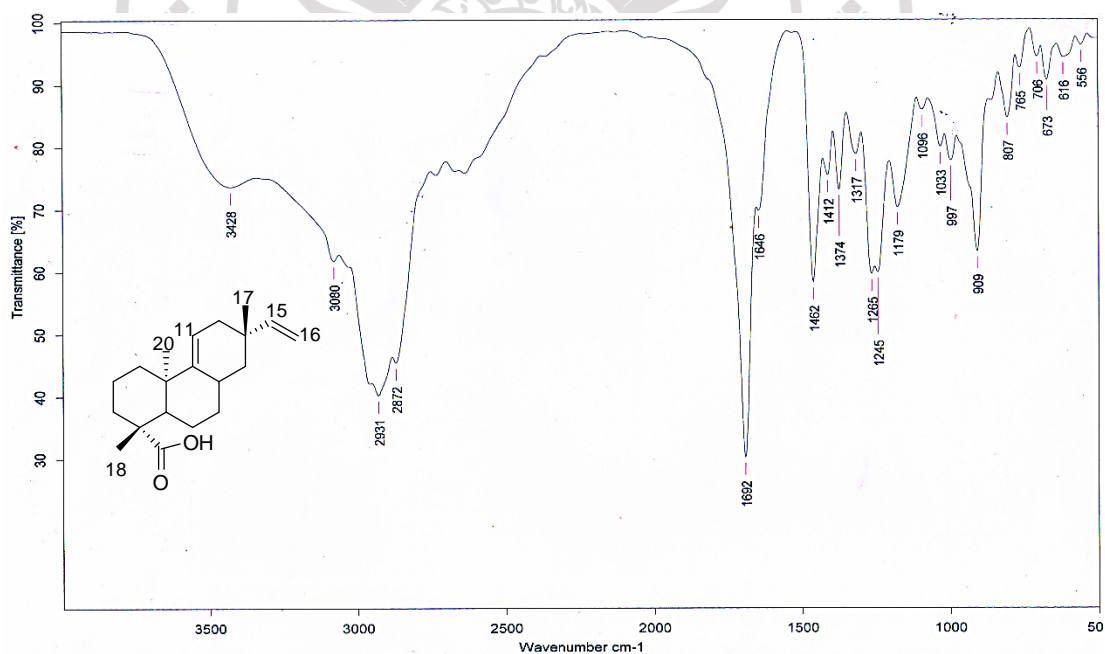
ตารางที่ 4.2 ผลการวิเคราะห์ IR ของ acanthoic acid **1** และ **47a-b**

(wave number; cm^{-1})		
Acanthoic acid 1	47a	47b
3080 $\text{sp}^2\text{ C-H}$ (s)	3083 $\text{sp}^2\text{ C-H}$ (s)	2962 $\text{sp}^3\text{ C-H}$ (s)
2931 $\text{sp}^3\text{ C-H}$ (s)	2926 $\text{sp}^3\text{ C-H}$ (s)	1724 C=O (s)
1692 C=O (s)	1694 C=O (s)	1463 CH_2 (b)
1462 CH_2 (b)	1459 CH_2 (b)	1385 CH_3 (b)
1374 CH_3 (b)	1376 CH_3 (b)	1158 C-O (s)
1147 C-O (s)	1147 C-O (s)	3425 O-H (s)
3428 O-H (s)		

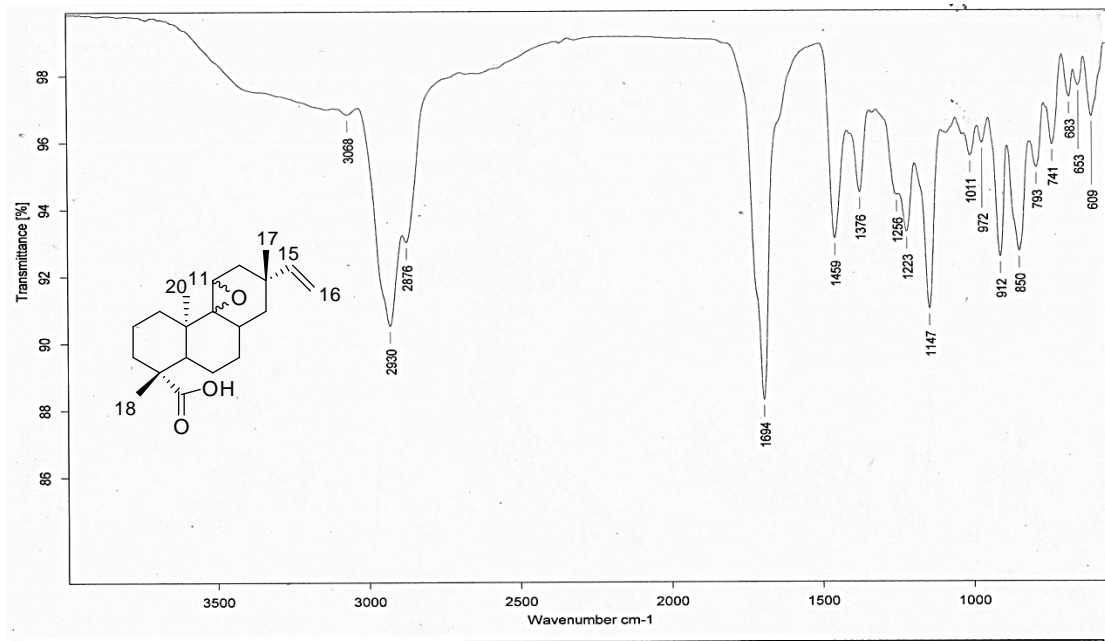
ตารางที่ 4.3 ผลการวิเคราะห์ $^1\text{H-NMR}$ ของ acanthoic acid **1** และ **47a-b**

การเลื่อนทางเคมี (chemical shift; ppm)		
Acanthoic acid 1	47a	47b
C-11 (5.4)	C-15 (5.7)	C-17 (0.6)
C-15 (5.8)	C-16 (4.9)	C-18 (1.2)
C-16 (4.9)	C-17 (0.6)	C-20 (0.8)
C-17 (0.9)	C-18 (1.2)	
C-18 (1.2)	C-20 (1)	
C-20 (1)		

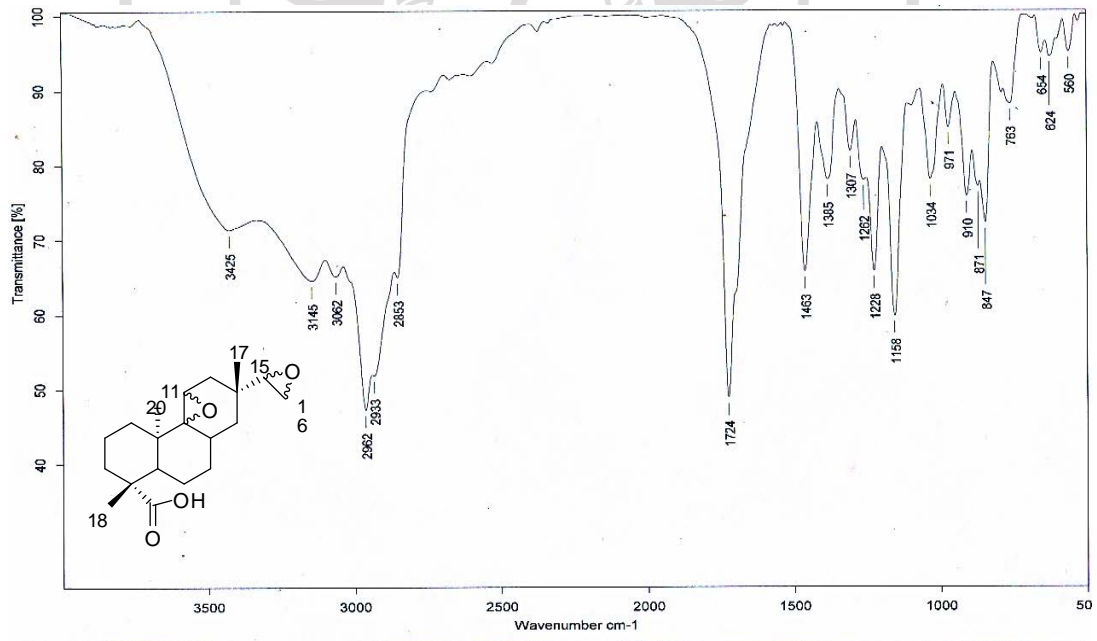
ผลการเปรียบเทียบ IR spectrum ของสาร acanthoic acid **1** และ **47a-b**



ภาพที่ 4.2 IR spectrum ของสาร acanthoic acid **1**

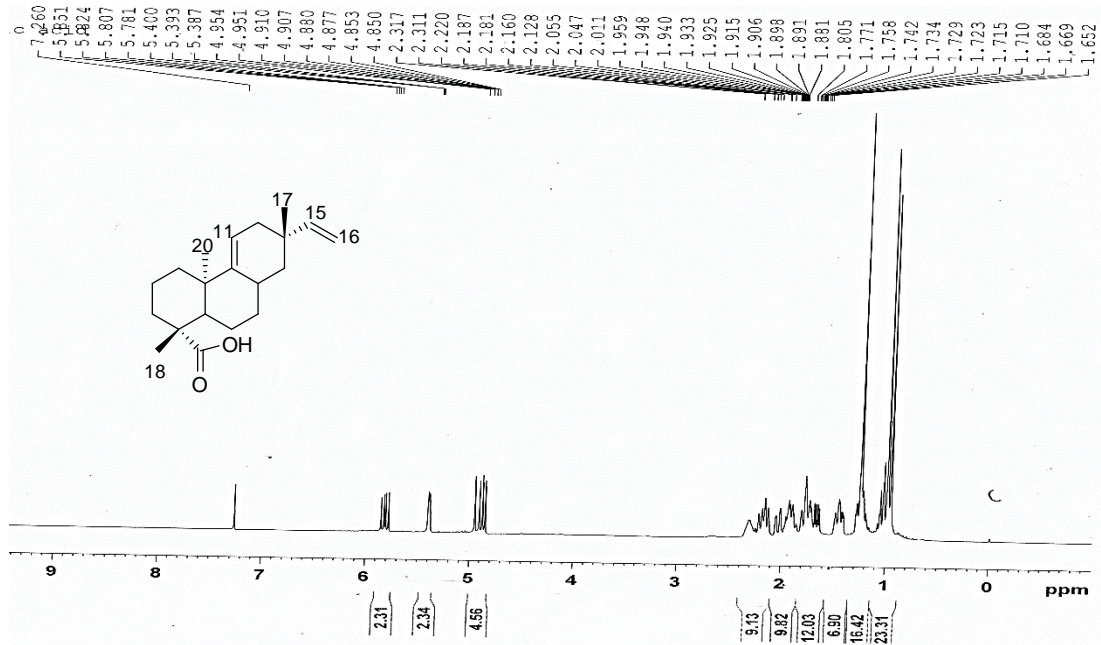


ภาพที่ 4.3 IR อุนพันธ์ 47a

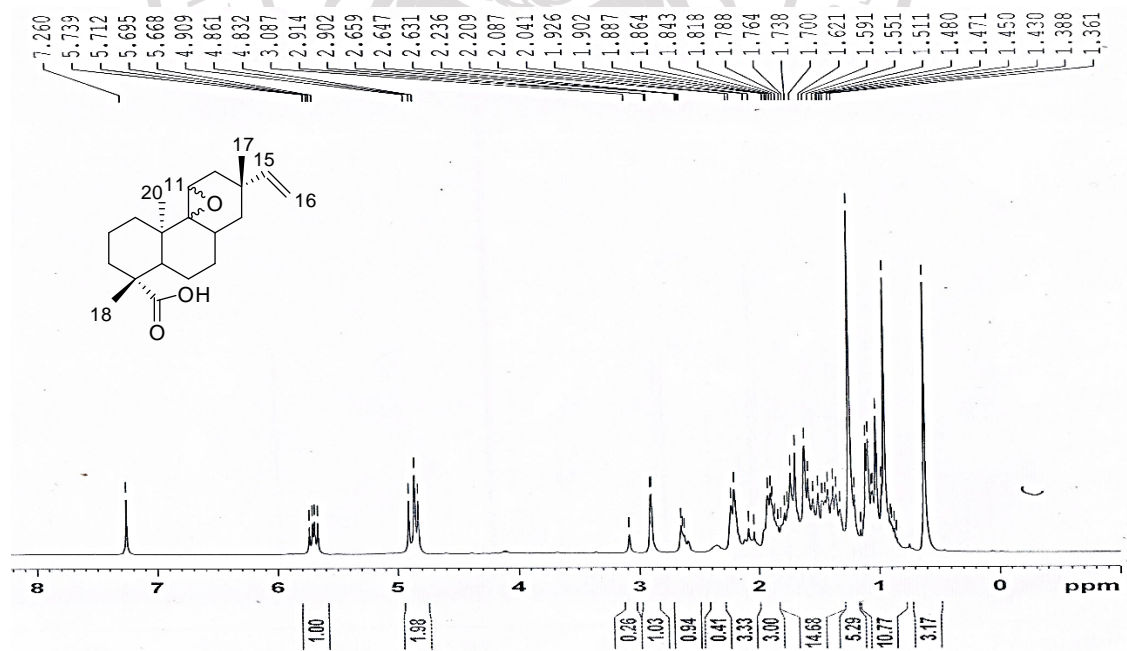


ภาพที่ 4.4 IR อุนพันธ์ 47b

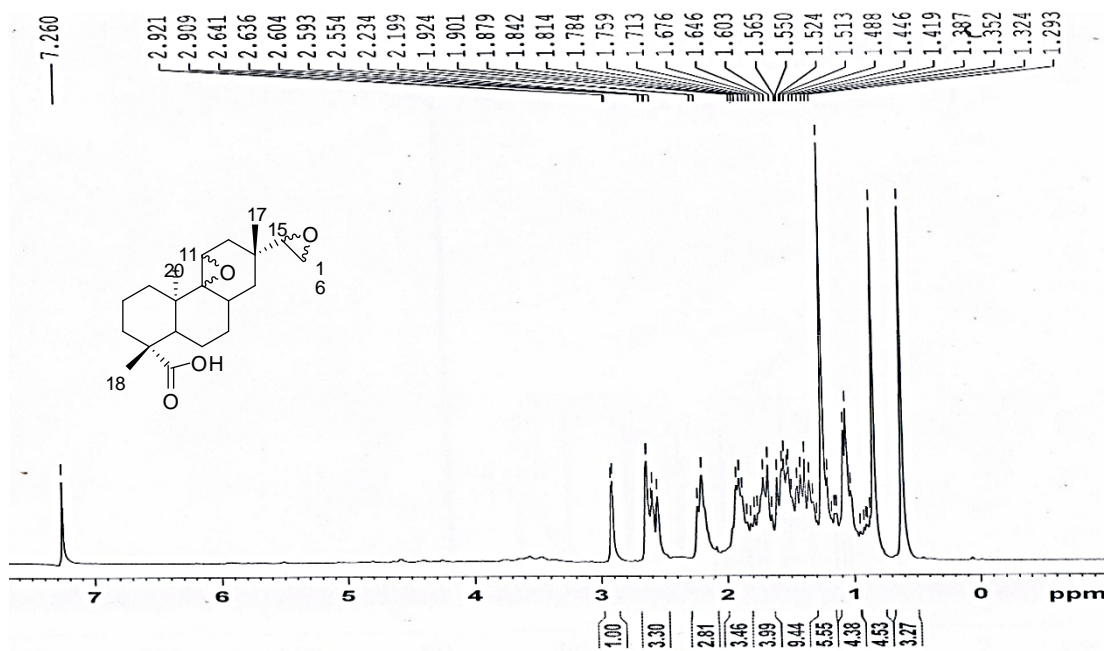
ผลการเปรียบเทียบ $^1\text{H-NMR}$ ของสาร acanthoic acid **1** และ **47a-b**



ภาพที่ 4.5 $^1\text{H-NMR}$ ของสาร acanthoic acid **1**

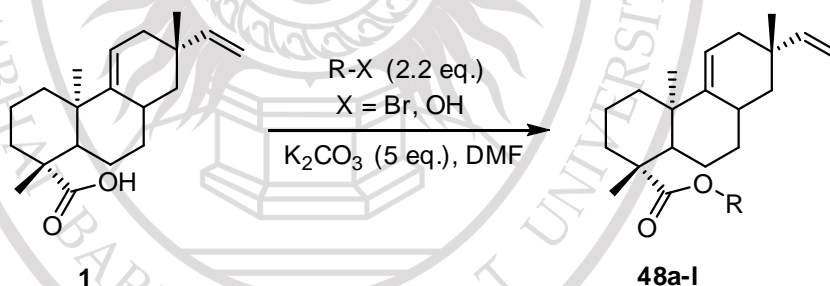


ภาพที่ 4.6 $^1\text{H-NMR}$ ของสารอนุพันธ์ **47a**



ภาพที่ 4.7 $^1\text{H-NMR}$ ของอนุพันธ์ 47b

4.3 การสังเคราะห์อนุพันธ์ alkyl acanthoate 48a-l



การปรับเปลี่ยนโครงสร้างของ acanthoic acid **1** ด้วยปฏิกิริยา Esterification โดยนำ acanthoic acid **1** ทำปฏิกิริยากับ alkyl bromide ดังตาราง 4.4 พบว่าได้ผลิตภัณฑ์อยู่ในช่วงร้อยละ 24-98 ผลิตภัณฑ์ที่ถูกสังเคราะห์ขึ้นนำไปพิสูจน์เอกลักษณ์ด้วยเทคนิค NMR และ IR spectroscopy ซึ่งขณะนี้ได้ผลการวิเคราะห์โครงสร้างที่แน่นอนเป็นบางส่วนดังตารางที่ 4.5 และ 4.6 ได้แก่ IR spectrum อนุพันธ์ **48a** พบพีก 3282 cm^{-1} ซึ่งเป็น sp C-H (s) ของพันธะสาม (Alkyne) อนุพันธ์ **48b** พบพีก 772 cm^{-1} ซึ่งเป็น CH_2 long chain band อนุพันธ์ **48c** พบพีก 722 cm^{-1} ซึ่งเป็น CH_2 long chain band เมื่อศึกษา acanthoic acid **1** พบว่า acanthoic acid **1** พบพีก 3428 cm^{-1} ซึ่งเป็น O-H (s) ของหมู่ carboxylic acid แต่อนุพันธ์ **48a-c** ไม่พบพีก O-H (s) ดังกล่าว สำหรับผล $^1\text{H-NMR}$ spectrum อนุพันธ์ **48a** พบว่ามีพีกเกิดขึ้นที่ตำแหน่งของสัญญาณการเลื่อนทางเคมี 2.4 และ 4.7 ppm ซึ่งเป็นโปรตรอนตำแหน่ง 22 และ 23 ของพันธะสาม (alkyne) **48b**

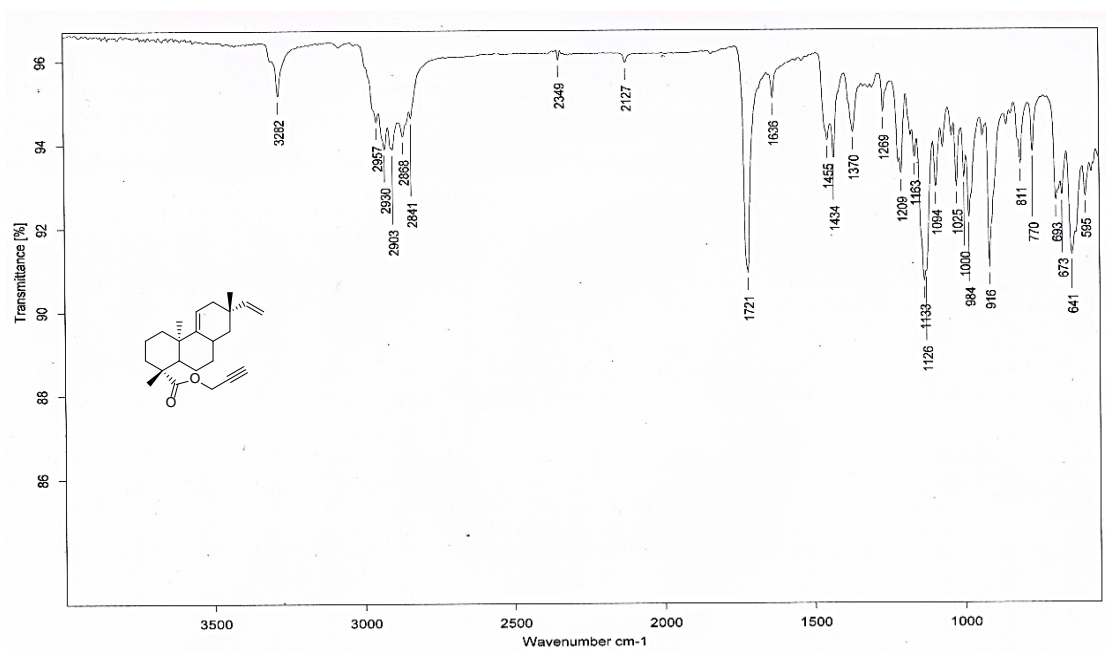
พบว่ามีการเกิดขึ้นที่ตำแหน่งของสัญญาณการเลื่อนทางเคมี 0.9 และ 4.1 ppm ซึ่งเป็นโปรตรอนตำแหน่ง 24 และ 21 จากผลดังกล่าวเมื่อเปรียบเทียบกับ acanthoic acid **1** สามารถยืนยันได้ว่าเกิดผลิตภัณฑ์ **48a** และ **48b**

ตารางที่ 4.4 การสังเคราะห์อนุพันธ์ชนิดใหม่ของ Acanthoic acid ด้วยปฏิกิริยา Esterification

ลำดับ (Entry)	หมู่แทนที่ (R)	ผลิตภัณฑ์ (Product)	เวลา (Time, h)	ร้อยละผลิตภัณฑ์ (%Yield)
1	Propargyl	48a	1.30	79
2	Butyl	48b	2.00	61
3	Octyl	48c	1.00	77
4	Benzyl	48d	1.00	70
5	4-Nitrobenzyl	48e	1.00	24
6	4-Methylbenzyl	48f	0.50	98
7	4-Methoxybenzyl	48g	1.50	76
8	2-Fluorobenzyl	48h	0.50	75
9	3-Fluorobenzyl	48i	15 min	78
10	4-Fluorobenzyl	48j	15 min	72
11	4-Chlorobenzyl	48k	1.00	82
12	4-Bromobenzyl	48l	0.50	98
13	allyl	48m	1.00	61

ตารางที่ 4.5 ตัวอย่างผลการวิเคราะห์ IR ของ **48a** เปรียบเทียบกับ acanthoic acid **1**

Acanthoic acid 1	48a
3080 sp^2 C-H (s)	3282 sp C-H (s) of alkyne
2931 sp^3 C-H (s)	2903 sp^3 C-H (s)
1692 C=O (s)	1721 C=O (s)
1462 CH_2 (b)	1434 CH_2 (b)
1374 CH_3 (b)	1370 CH_3 (b)
1147 C-O (s)	1000 C-O (s)
3428 O-H (s)	

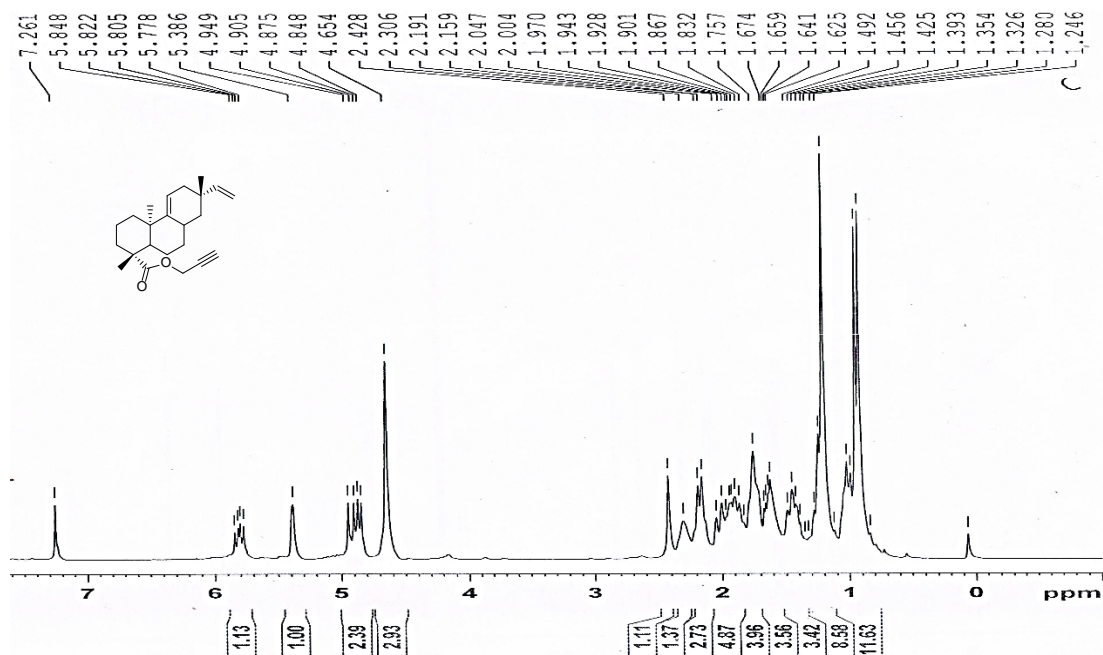


ภาพที่ 4.8 IR อนุพันธ์ **48a**

ตารางที่ 4.6 ตัวอย่างผลการวิเคราะห์ $^1\text{H-NMR}$ ของ **48a** เปรียบเทียบกับ acanthoic acid **1**

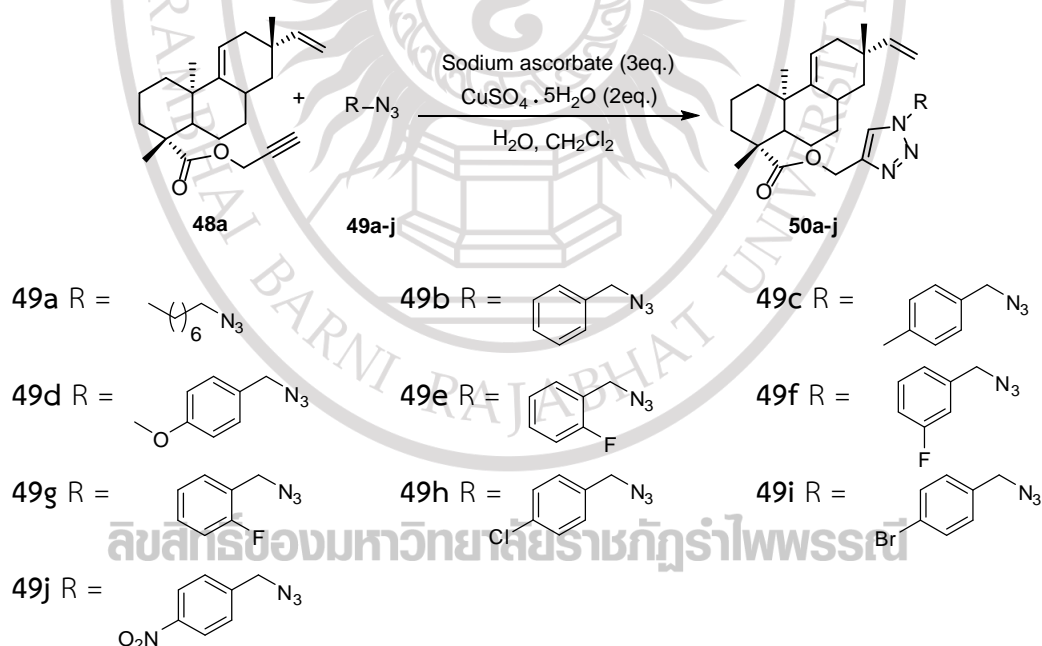
Acanthoic acid 1	48a
H-11 (5.4)	H-11 (5.4)
H-15 (5.8)	H-15 (5.8)
H-16 (4.9)	H-16 (4.9)
H-17 (0.9)	H-17 (0.9)
H-18 (1.2)	H-18 (1.2)
H-20 (1.0)	H-20 (1.0)
	H-21 (4.6)
	H-23 (2.4)

ลิขสิทธิ์ของมหาวิทยาลัยราชภัฏรำไพพรรณี



ภาพที่ 4.9 $^1\text{H-NMR}$ อนุพันธ์ 48a

4.4 การสังเคราะห์อนุพันธ์ของ Triazolyl acanthoic esters



การสังเคราะห์อนุพันธ์ของ triazolyl acanthoic esters **50a-j** (ตารางที่ 4.7) โดยใช้ปฏิกิริยา Copper Azide-Alkyne Cycloaddition (CuAAC) ระหว่าง 2-propynyl acanthoate **48a** กับ alkyl azide **50a-j** อนุพันธ์ที่สังเคราะห์ได้ถูกนำไปพิสูจน์เอกลักษณ์ด้วยเทคนิค NMR spectroscopy และ IR- spectroscopy ซึ่งจะเห็นได้ว่า ปฏิกิริยา Copper-Catalyzed Azide-Alkyne Cycloaddition (CuAAC) สามารถเปลี่ยนหมู่ alkyne ของอนุพันธ์ **48a** เกิดเป็นผลิตภัณฑ์

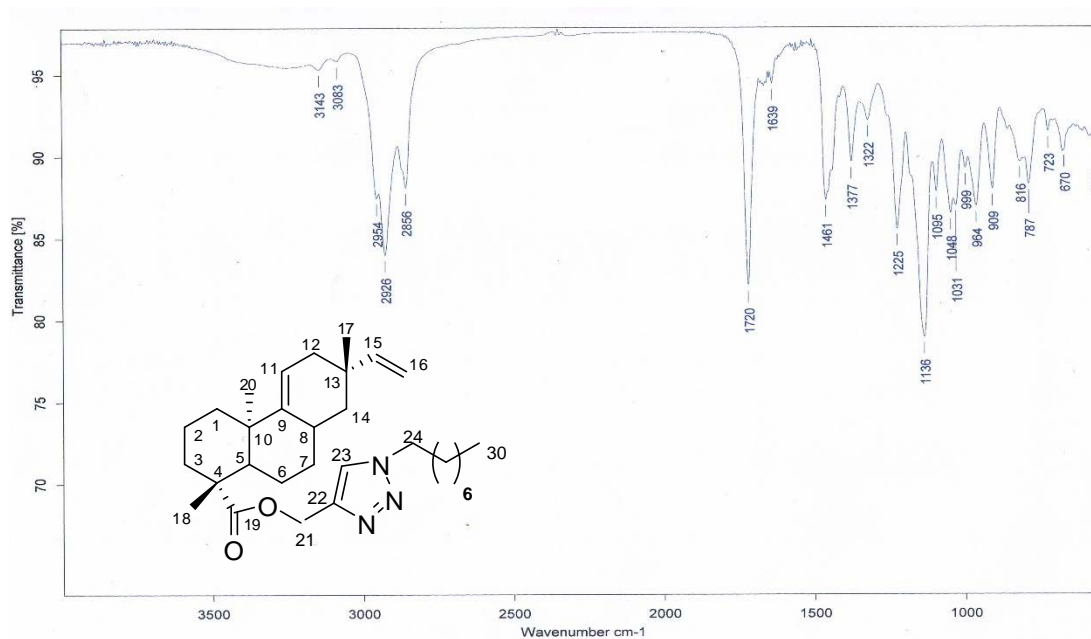
triazolyl acanthoic ester ได้จากผลการวิเคราะห์ $^1\text{H-NMR}$ spectroscopy และ IR-spectroscopy ดังตารางที่ 4.7 ถึง 4.8

ตารางที่ 4.7 การสังเคราะห์อนุพันธ์ของ triazolyl acanthoic esters **50a-j**

ลำดับ (Entry)	ตัวทำปฏิกิริยาที่ใช้ (Reagent)	ผลิตภัณฑ์ (Product)	เวลา (Time, h)	ร้อยละผลิตภัณฑ์ (%Yield)
1	49a	50a	0.30	80
2	49b	50b	1.00	88
3	49c	50c	0.40	62
4	49d	50d	0.30	83
5	49e	50e	0.30	89
6	49f	50f	15.00	83
7	49g	50g	1.00	77
8	49h	50h	18.00	82
9	49i	50i	0.30	68
10	49j	50j	0.30	84

ตารางที่ 4.8 ตัวอย่างผลการวิเคราะห์ IR ของ **50a** เปรียบเทียบกับอนุพันธ์ **48a**

48a	50a
3282 $\text{sp}^{\text{C-H}}$ (s) of alkyne	3083 $\text{sp}^{\text{C-H}}$ (s)
2903 $\text{sp}^{\text{C-H}}$ (s)	2926 $\text{sp}^{\text{C-H}}$ (s)
1721 C=O (s)	1720 C=O (s)
1434 CH_2 (b)	1461 CH_2 (b)
1370 CH_3 (b)	1377 CH_3 (b)
1000 C-O (s)	1225 C-N (m)
	1031 C-O (s)
	723 Long chain

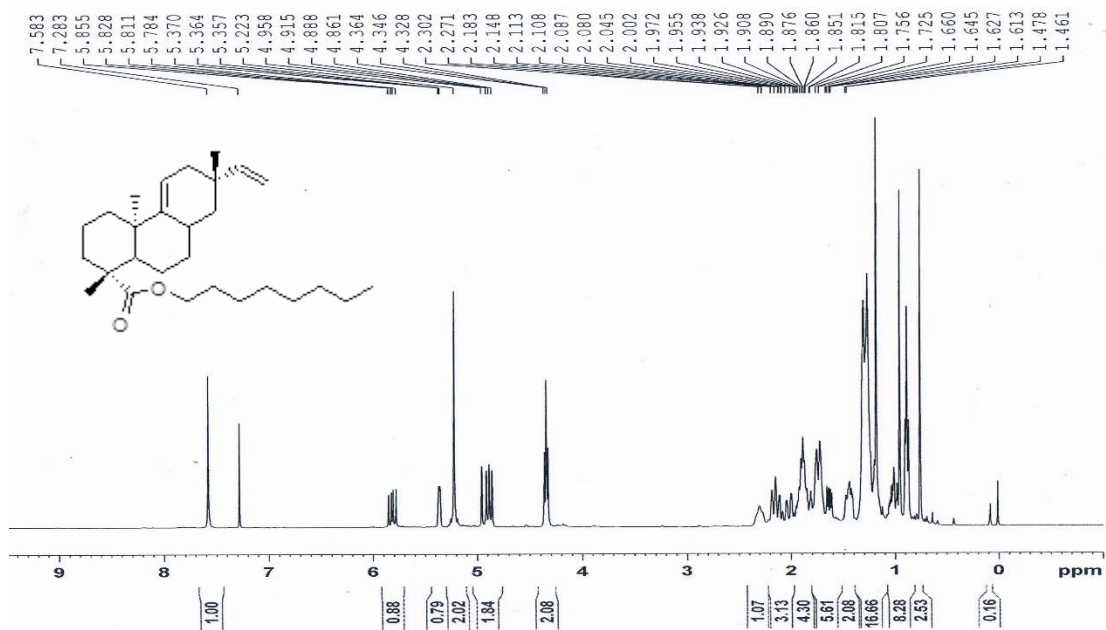


ภาพที่ 4.10 IR อนุพันธ์ 50a

ตารางที่ 4.9 ตัวอย่างผลการวิเคราะห์ $^1\text{H-NMR}$ ของ 50a เปรียบเทียบกับอนุพันธ์ 48a

48a	50a
H-11 (5.4)	H-11 (5.4)
H-15 (5.8)	H-15 (5.8)
H-16 (4.9)	H-16 (4.9)
H-17 (0.9)	H-17 (0.8)
H-18 (1.2)	H-18 (1.2)
H-20 (1.0)	H-20 (1)
H-21 (4.6)	H-21 (5.3)
H-23 (2.4)	H-23 (4.4)

ลิขสิทธิ์ของมหาวิทยาลัยราชภัฏรำไพพรรณี

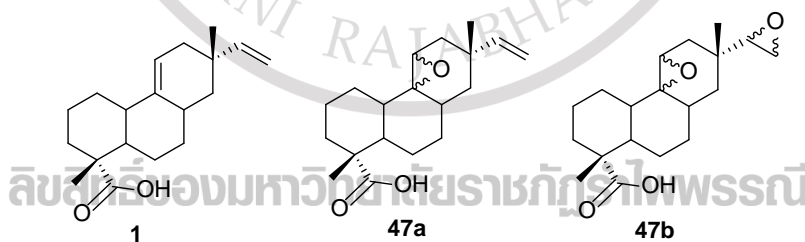


ภาพที่ 4.11 ¹H-NMR อนุพันธ์ 50a

4.5 การทดสอบความเป็นพิษต่อเซลล์มะเร็ง

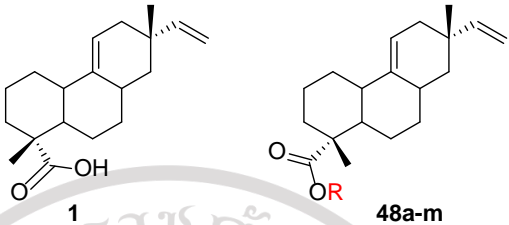
การทดสอบความเป็นพิษต่อเซลล์มะเร็ง ได้รับความอนุเคราะห์ในการทดสอบจาก Prof. Dr. Seiji Okada มหาวิทยาลัย Kumamoto ประเทศญี่ปุ่น สำหรับงานวิจัยนี้ได้ทดสอบกับ มะเร็งท่อน้ำดี ชนิด KKU-213 KKU-055 KKU-214 และ KKU-100 และใช้เซลล์ปกติ เป็นเซลล์ตับ ชนิด MMNK-1 กับสาร acanthoic acid และอนุพันธ์ที่สังเคราะห์ขึ้นทั้ง 25 ชนิด โดยใช้วิธี MTT assay ปรากฏผลการทดสอบดังตารางที่ 4.10-4.12 ดังนี้

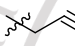
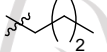
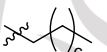
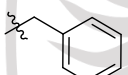
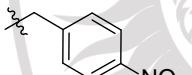
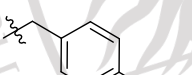
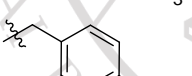



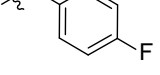
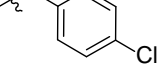
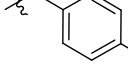
ตารางที่ 4.10 ผลการทดสอบความเป็นพิษต่อเซลล์มะเร็งของอนุพันธ์ 47a-b ในกลุ่ม epoxide



Compound	IC ₅₀ (μM)				
	KKU-055	KKU-213	KKU-214	KKU-100	MMNK-1
1	120	149	168	174	196
47a	>50	>50	>50	>50	>50
47b	>50	>50	>50	>50	>50

ตารางที่ 4.11 ผลการทดสอบความเป็นพิษต่อเซลล์มะเร็งท่อน้ำดีของอนุพันธ์ 48a-m



Compound	R	IC ₅₀ (μM)				
		KKU-055	KKU-213	KKU-214	KKU-100	MMNK-1
1		120	149	168	174	196
48a		37	31	34	>50	38
48b		49	37	>50	>50	>50
48c		>50	>50	>50	>50	>50
48d		>50	>50	>50	>50	>50
48e		>50	>50	>50	>50	>50
48f		>50	>50	>50	>50	>50
48g		>50	>50	>50	>50	>50
48h		47	35	46	>50	>50
48i		41	28	>50	>50	>50
48j		>50	38	>50	>50	49
48k		>50	>50	>50	>50	>50
48l		>50	41	44	>50	>50
48m		>50	>50	>50	>50	>50

ตารางที่ 4.12 ผลการทดสอบความเป็นพิษต่อเซลล์มะเร็งท่อน้ำดีของอนุพันธ์ 50a-j

Compound	R	IC ₅₀ (μM)				
		KKU-055	KKU-213	KKU-214	KKU-100	MMNK-1
1		120	149	168	174	196
50a		48	37	38	>50	35
50b		47	40	41	>50	39
50c		>50	47	39	>50	>50
50d		>50	>50	>50	>50	>50
50e		>50	>50	>50	>50	>50
50f		>50	>50	>50	>50	>50
50g		>50	>50	>50	>50	>50
50h		>50	>50	39	>50	>50
50i		>50	>50	53	>50	>50
50j		33	18	21	>50	21

การทดสอบความเป็นพิษต่อเซลล์มะเร็งท่อน้ำดี ชนิด K KU-213 K KU-055 K KU-214 และ K KU-100 และใช้เซลล์ปกติ เป็นเซลล์ต้นชนิด MMNK-1 ของสาร acanthoic acid **1** พบว่าสารชนิดนี้มีฤทธิ์ยับยั้งมะเร็งท่อน้ำดีไม่สูงมากนักโดยมีค่า IC₅₀ เท่ากับ 120, 149, 168 และ 174 μ M ในมะเร็งชนิด K KU-055, K KU-213, K KU-214 และ K KU-100 ตามลำดับ และมีค่า IC₅₀ เท่ากับ 196 μ M ในเซลล์ต้นปกติ แสดงให้เห็นว่าสารดังกล่าวมีความเป็นพิษต่อเซลล์มะเร็งสูงกว่าในเซลล์ปกติ เมื่อพิจารณาผลจากตารางที่ 4.9 พบว่าหากทำการเปลี่ยนหมู่ฟังก์ชันจาก alkene เป็น epoxide (อนุพันธ์ **47a-b**) ผลที่ได้สารทั้ง 2 ชนิด สามารถแสดงฤทธิ์ความเป็นพิษต่อเซลล์ที่ค่อนข้างต่ำเนื่องจากมีค่า IC₅₀ มากกว่า 50 μ M ทั้งในเซลล์มะเร็งท่อน้ำดีและเซลล์ต้นปกติ แสดงว่าการปรับเปลี่ยนบริเวณหมู่ alkene เป็นหมู่ epoxide ไม่ส่งผลต่อการเพิ่มฤทธิ์การยับยั้งเซลล์มะเร็งท่อน้ำดี

เมื่อพิจารณาผลของความเป็นพิษต่อเซลล์มะเร็งท่อน้ำดีของอนุพันธ์ **48a-m** ตารางที่ 4.10 ซึ่งเป็นอนุพันธ์กลุ่ม ester โดยอนุพันธ์กลุ่มนี้ทั้ง 13 ชนิด ที่สังเคราะห์ขึ้น ได้ทำการปรับเปลี่ยนหมู่ฟังก์ชันบริเวณหมู่ carboxylic acid ของ acanthoic acid เป็น ester ที่มีส่วน alkyl group เป็น aliphatic โซ่ตรง (อนุพันธ์ **48a-c** และ **48m**) รวมถึงกลุ่มอนุพันธ์ของ benzyl group (อนุพันธ์ **48d-l**) พบว่าอนุพันธ์ **48a 48b 48h 48i 48j** และ **48l** สามารถแสดงฤทธิ์ยับยั้งเซลล์มะเร็งท่อน้ำดีชนิด K KU-213 ได้ดี มีค่า IC₅₀ อยู่ระหว่าง 28-41 μ M สำหรับเซลล์มะเร็ง K KU-055 พบว่าอนุพันธ์ **48a 48b 48h** และ **48i** แสดงฤทธิ์ยับยั้งได้ (IC₅₀ อยู่ระหว่าง 37-49 μ M) ขณะที่เซลล์มะเร็ง K KU-214 พบว่าอนุพันธ์ **48a 48h** และ **48l** แสดงฤทธิ์ยับยั้งได้ (IC₅₀ อยู่ระหว่าง 34-46 μ M) ส่วนเซลล์มะเร็ง K KU-100 พบว่าอนุพันธ์ทั้งหมดที่สังเคราะห์ขึ้นฤทธิ์ยับยั้งได้ที่ค่า IC₅₀ มากกว่า 50 μ M เมื่อวิเคราะห์ความสัมพันธ์เชิงโครงสร้างกับฤทธิ์ทางชีวภาพของอนุพันธ์กลุ่ม ester นี้ พบว่า **48h 48i** และ **48j** ซึ่งมีหมู่แทนที่ (R) เป็น fluoro benzyl เกาะที่ตำแหน่ง 2, 3 และ 4 ของวง benzene แสดงฤทธิ์ยับยั้งเซลล์มะเร็งชนิด K KU-213 ได้ดีที่สุด และหากเปรียบเทียบถึงความสามารถในการยับยั้งเซลล์มะเร็งท่อน้ำดีทั้ง 4 ชนิดแล้วจะพบว่าอนุพันธ์ **48a** และ **48h** มีฤทธิ์ในการยับยั้งเซลล์มะเร็งท่อน้ำดีได้สูงถึง 3 ชนิด คือ K KU-055 K KU-213 และ K KU-214 ซึ่งให้ผลดีกว่า acanthoic acid สูงกว่า 3-5 เท่า

เมื่อพิจารณาผลของความเป็นพิษต่อเซลล์มะเร็งท่อน้ำดีของอนุพันธ์ **50a-j** ตารางที่ 4.11 ซึ่งเป็นอนุพันธ์กลุ่ม triazole โดยอนุพันธ์กลุ่มนี้ทั้ง 10 ชนิด ที่สังเคราะห์ขึ้น ได้ทำการปรับเปลี่ยนหมู่ฟังก์ชันบริเวณหมู่ carboxylic acid ของ acanthoic acid เป็นอนุพันธ์ triazolyl ester พบว่าความสามารถในการยับยั้งเซลล์มะเร็งของอนุพันธ์สังเคราะห์กลุ่มนี้ส่วนมากสามารถยับยั้งเซลล์มะเร็งชนิด K KU-214 ได้ถึง 6 อนุพันธ์ (อนุพันธ์ **50a-c, 50h-j**) โดยมีค่า IC₅₀ อยู่ระหว่าง 21-53 μ M ขณะที่อนุพันธ์ 4 ชนิด (อนุพันธ์ **50a-c** และ **50j**) สามารถยับยั้งเซลล์มะเร็งชนิด K KU-213 ได้ และยังพบว่าอนุพันธ์ **50a 50b** และ **50j** มีฤทธิ์ในการยับยั้งเซลล์มะเร็งท่อน้ำดีได้สูงถึง 3 ชนิด คือ K KU-055 K KU-213 และ K KU-214 โดยมีค่า IC₅₀ อยู่ระหว่าง 18-48 μ M ซึ่งให้ผลดีกว่า acanthoic acid สูงกว่า 3-8 เท่า โดยเฉพาะอย่างยิ่งอนุพันธ์ **50j** ที่สามารถยับยั้งเซลล์มะเร็งชนิด K KU-213 (IC₅₀ เท่ากับ 18 μ M) ได้สูงกว่า acanthoic acid ถึง 8 เท่า ซึ่งอนุพันธ์ดังกล่าวจึงน่าสนใจที่จะนำไปศึกษากลไกการยับยั้งเซลล์มะเร็งเพื่อพัฒนาเป็นยาด้านมะเร็งท่อน้ำดีได้ในอนาคต